

Федеральное государственное бюджетное образовательное учреждение высшего
профессионального образования
Московский государственный технический университет имени Н.Э. Баумана

Лабораторная работа
«Реализация метода отражений (Хаусхолдера)
для QR -разложения матрицы A
по курсу:
«Вычислительные методы линейной алгебры»

Выполнил:
студент группы ИУ9-72
Иванов Георгий

Проверил:
Голубков А.Ю.

Москва, 2019

Содержание

1	Постановка задачи	3
2	Теоретические сведения	4
2.1	Метод Хаусхолдера	4
2.2	Итерационное уточнение с переменной точностью	5
2.3	Практическая оценка ошибки	7
3	Практическая реализация	9
4	Тестирование	12
4.1	Матрица 3x3	12
4.2	Матрица 6x6	12
4.3	Матрица 100x100	16
4.4	Матрица 250x250	16
4.5	Матрица 500x500	16
5	Вывод	17
	Список литературы	18

1 Постановка задачи

Дано: A - произвольная матрица размера $n * m$.

Необходимо представить эту матрицу в виде $A = QR$, где Q - ортогональная или унитарная (в комплексном случае) матрица размера $n * n$ и R - верхняя треугольная матрица размера $n * m$. При помощи данного представления решить СЛАУ $Ax = b$ при осуществлении перехода к решению СЛАУ такого вида: $Rx = Q^*b$.

2 Теоретические сведения

2.1 Метод Хаусхолдера

Метод Хаусхолдера (метод отражений) - один из самых распространенных методов нахождения QR -разложения. Данное отражение было предложено в 1958 году американским математиком Элстоном Скоттом Хаусхолдером. В основе данного метода лежит оператор отражения. Данный оператор отражает ненулевой вектор x из евклидова пространства E относительно гиперплоскости.

Рассмотрим вектор v - единичный вектор длины 1 (рисунок 1).

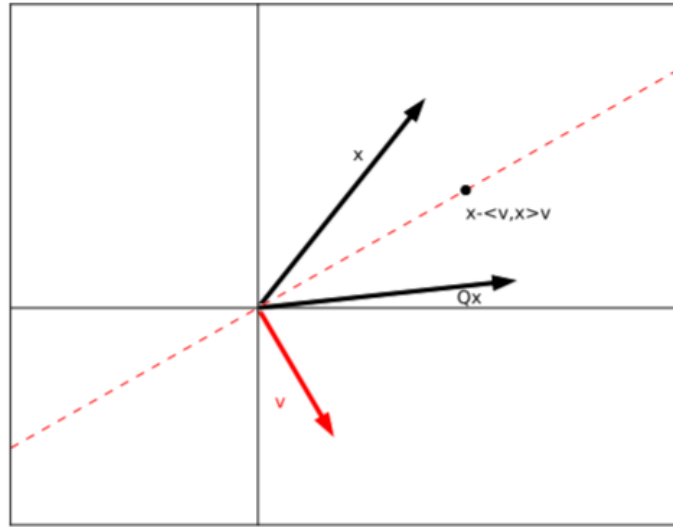


Рисунок 1. Отражение вектора

Так как мы имеем разложение n -мерного евклидова пространства на прямую сумму подпространства и его ортогонального дополнения $E = \langle v \rangle \oplus \langle v \rangle^\perp$, можно заметить, что вектор $x - \langle v, x \rangle v$ является проекцией вектора x на гиперплоскость $\langle v \rangle^\perp$. Отраженный вектор x относительно гиперплоскости примет вид $Px = x - 2\langle v, x \rangle v$, то есть можно записать в виде $Px = x - 2v(v^\perp x)$, так как $\langle v, v \rangle = v^\perp v$. Поэтому матрица отражений P имеет представление $P = E - 2vv^\perp$, являющейся матрицей отражения относительно гиперплоскости $\langle v \rangle^\perp$.

Заметим, что данная матрица симметрична. В самом деле, $P = P^\perp$, то есть $(vv^\perp)^\perp = (v^\perp)^\perp v^\perp = vv^\perp$. А vv^\perp есть симметричная матрица. А также является ортогональной матрицей $P^{-1} = P^\perp$, принимая во внимание предыдущие формулы имеем $PP^\perp = PP = (E - 2vv^\perp)(E - 2vv^\perp) = (E - 4vv^\perp + 4vv^\perp vv^\perp) = E$, что и означает справедливость. К тому же, данная матрица является инволютивной, так как $(P^2 = E)$. Числа $\lambda = -1, 1$ являются собственными значениями матрицы P . Также можно заметить, что определитель данной матрицы -1 , как произведение собственных значений матрицы.

На i -м шаге метода с помощью метода отражения «убираются» ненулевые поддиагональные элементы в i -м столбце. Таким образом, после $n-1$ шагов преобразований получается матрица R из QR -разложения.

Определим вектор $u = \frac{v}{\|v\|}$, где v - единичный вектор длины 1. Перепишем оператор отражения относительно u .

$$P = E - 2vv^\perp = E - 2\frac{uu^\perp}{\|u\|^2}. \quad (1)$$

Разберем подробнее сам алгоритм для матрицы A .

Пусть x — вектор, составленный из первого столбца матрицы A . Выберем $u = x - \|x\|e_1$, где e_1 — единичный вектор $\begin{pmatrix} 1 & 0 & 0 & \dots & 0 \end{pmatrix}^\perp$. Квадрат нормы этого вектора можно найти: $\|u\|^2 = u^\perp u = (x - \|x\|e_1)^\perp (x - \|x\|e_1) = x^\perp x - 2\|x\|x^\perp e_1 + \|x\|^2 e_1^\perp e_1 = \|x\|^2 - 2\|x\|x_1 + \|x\|^2 = 2(\|x\|^2 - \|x\|x_1)$. Применим оператор отражения к этому вектору.

$$Px = (E - 2\frac{uu^\perp}{\|u\|^2})x = (E - \frac{2u(x - \|x\|e_1)^\perp}{\|u\|^2})x = x - \frac{2u\|x\|^2 - \|x\|x_1}{2(\|x\|^2 - \|x\|x_1)} = x - u = \|x\|e_1, \quad (2)$$

то есть $Px = \|x\| \begin{pmatrix} 1 & 0 & \dots & 0 \end{pmatrix}^\perp$. Это показывает, что матрица Хаусхолдера P действует на заданный вектор x , уничтожая все его элементы, кроме первого.

Рассмотрим некоторые нюансы. Если x почти коллинеарен вектору e_1 , то вектор $u = x - \text{sign}(x)\sqrt{x^\perp x}e_1$ имеет малую норму. Поэтому возможно появление большой относительной ошибки при вычислении множителя $\frac{2}{u^\perp u}$. Эту трудность можно обойти, если взять с тем же знаком второй компоненты вектора, что и знак первой компоненты вектора x , т.е. $u = x + \text{sign}(x)\sqrt{x^\perp x}e_1$. При таком выборе $\|u\|_\infty = |u_1|$. Полезно также придерживаться такой нормировки вектора u , что $u_1 = 1$.

Обозначим эту матрицу как P_1 , то есть оператор отражения применен к первому столбцу матрицы A . Последовательно, применяя оператор отражений ко всем вектор, составленных из столбцов матрицы A , приводим матрицу A к треугольной форме. После k -итераций матрица $P_k P_{k-1} \dots P_1 A$ имеет вид на рисунке 2. Алгоритм сохраняет собственные значения A , поскольку $A = Q^{-1} A Q$ имеет те же собственные значения, что и A (аналогичные матрицы имеют одинаковые собственные значения).

По завершении этого алгоритма матрица A содержит матрицу R факторизации QR и векторы v_1, v_2, \dots, v_n - векторы отражения. Они будут использованы для вычисления произведений матрицы-вектора в форме Qx . Сама матрица Q не выводится. Её можно построить путем вычисления специальных матрично-векторных произведений.

2.2 Итерационное уточнение с переменной точностью

Для начала рассмотрим метод итерационного уточнения с постоянной точностью. В большинстве случаев метод Гаусса с выбором главного элемента позволяет найти приближенное решение с довольно высокой точностью. Однако иногда возникает необходимость найти решение с большей точностью. Полезно знать, что существует метод, позволяющий найти приближенное решение с относительной точностью, сравнимой с ем, если только число обусловленности не слишком велико. Этот метод, называемый итерационным уточнением, требует небольшого (примерно на 25%) увеличения машинного времени по сравнению с затратами на получение решения методом Гаусса. Пусть $x^{(0)}$ -найденное на ЭВМ приближенное решение системы $Ax = b$.

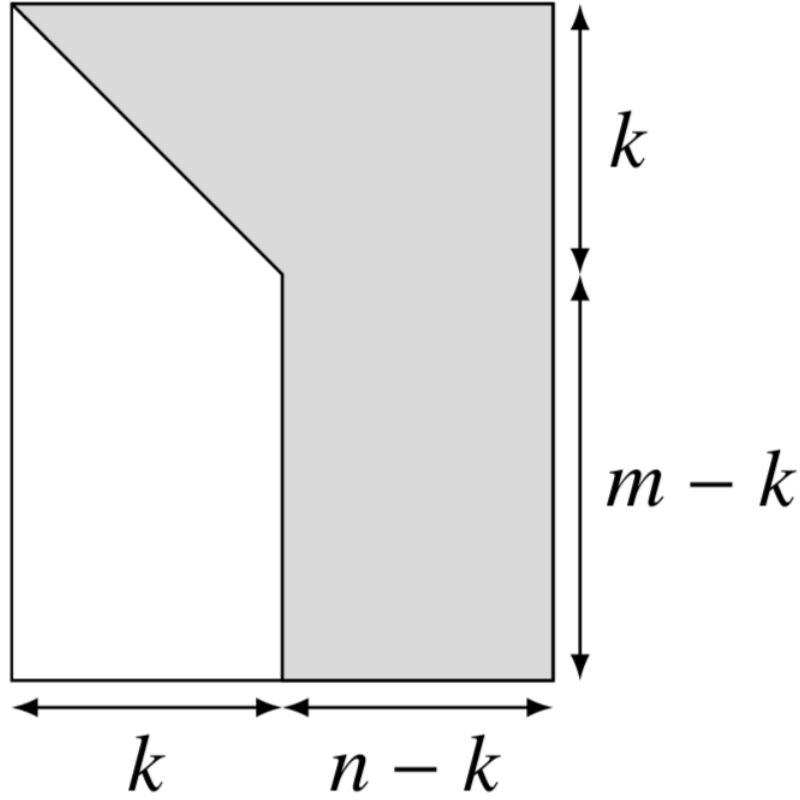


Рисунок 2. Вид матрицы $P_k P_{k-1} \dots P_1 A$

Напомним, что невязка

$$r^{(0)} = b - Ax^{(0)} \quad (3)$$

и погрешность

$$e^{(0)} = x - x^{(0)} \quad (4)$$

связаны равенством

$$Ae^{(0)} = r^{(0)} \quad (5)$$

Если бы удалось найти $e^{(0)}$ как точное решение системы, то вектор $x^{(1)} = x^{(0)} + e^{(0)}$ дал бы точное решение системы. Однако в действительности вычисленное на ЭВМ значение $x^{(1)}$ неизбежно будет содержать ошибку. Тем не менее можно ожидать, что $x^{(1)}$ окажется лучшим приближением, чем $x^{(0)}$. Используя приближение $x^{(1)}$, аналогичным образом можно найти приближение $x^{(2)}$.

Опишем более подробно очередной $k + 1$ шаг метода.

- Вычисляют $r^{(k)} \approx b - Ax^{(k)}$. Исключительно важно, чтобы вычисление производилось с повышенной точностью. Дело в том, что $b \approx Ax^{(k)}$ и поэтому при вычислении невязки неизбежно вычитание близких чисел, а следовательно, потеря большого числа значащих цифр. Одна из возможностей состоит в использовании для вычисления $Ax^{(k)}, b - Ax^{(k)}$ арифметики удвоенной точности.
- Вычисляют решение системы $r^{(k)} = Ae^{(k)}$. Так как матрица A не меняется, то получение очередного приближения с использованием однажды вычисленного разложения матрицы A требует сравнительно небольшого числа арифметических действий.

- Вычисляют $x^{(k+1)} = x^{(k)} + e^{(k)}$. Если число обусловленности не очень велико, то метод довольно быстро сходится. Сходимость характеризуется постепенным установлением значащих цифр в приближениях $x^{(k)}$. Если же процесс расходится, то в приближениях не устанавливаются даже старшие значащие цифры.

Естественно, что в точной арифметике мы не получили бы в результате ничего нового, поскольку в этом случае $r = e^{(k)} = 0$. В арифметике с плавающей запятой такого же происходит, но тем не менее, найденный вектор $x^{(k+1)}$ может оказаться не сильно лучше вектора $x^{(k)}$, если тот уже был близок к решению, как это имеет место для методов Гаусса с выбором. Вместе с тем применительно к другим стратегиям выбора несколько шагов такого уточнения могут значительно улучшить качество решения (т.е. количество разрядов). Значительно более эффективной версией процесса итерационного уточнения является версия этого алгоритма, в которой вектор невязки вычисляется с удвоенной точностью. Известны качественные оценки работы такого алгоритма итерационного уточнения с переменной точностью, оправдывающего его использование.

2.3 Практическая оценка ошибки

Чтобы вычислить практическую оценку ошибки, основанную на неравенстве:

$$\|\delta x\| \leq \|A^{-1}\| * \|r\| \quad (6)$$

нужно уметь оценивать число $\|A^{-1}\|$. Этого достаточно, чтобы суметь оценить и число обусловленности $\kappa(A) = \|A^{-1}\| * \|A\|$, поскольку $\|A\|$ находится легко. Одна из явных возможностей состоит в том, чтобы вычислить матрицу A^{-1} в явном виде, а затем определить её норму. Однако нет никакого выигрыша в решении системы путём вычисления данной матрицы. Поэтому вместо вычисления A^{-1} будем использовать оценщик обусловленности Хэйджера.

Алгоритм оценивает 1-норму $\|B\|_1$ матрицы B ; предполагается, что мы можем вычислять произведения Bx и $B^T y$ для любых векторов x и y . Для начала выбирается произвольный вектор x с нормой $\|x\|_1 = 1$, например $x_i = \frac{1}{n}$. Вычисляется вектор $w = Bx$, $\zeta = \text{sgn}(w)$, $z = B^T \zeta$. После же происходит сверка условия $\|z\|_\infty \leq z^T x$. Если выполняется, то возвращается $\|w\|_1$. Иначе $x = e_j$, где $|z_j| = \|z\|_\infty$ и возвращаемся к вычислениям w, ζ, z .

На практике построенная оценка отличается от истинного значения нормы обратной матрицы приблизительно на 1 порядок.

Данный алгоритм можно применить к оцениванию относительного числа обусловленности или вычислению границы $\|A^{-1}\| * |r|$. Это сводится к задаче оценивания величины $\|A^{-1}\| * g\|_\infty$, где g — вектор с неотрицательными компонентами. Пусть e — вектор с неотрицательными единичными компонентами. Далее

$$\| \|A^{-1}\| * \|A\| \|_\infty = \| \|A^{-1}\| * \|A\| e \|_\infty = \| \|A^{-1}\| * g \|_\infty \quad (7)$$

Введём матрицу $G = \text{diag}(g_1, \dots, g_n)$. Тогда $g = Ge$. Выведем

$$|||A^{-1}||| * g||_{\infty} = ||A^{-1}G||_{\infty} \quad (8)$$

А сама практическая оценка ошибки вычисляется:

$$error = \frac{||x^{(k)} - x||_{\infty}}{||x^{(k)}||_{\infty}} \leq \frac{|||A^{-1}|||r||_{\infty}}{||x^{(k)}||_{\infty}} \quad (9)$$

Величину $|||A^{-1}|||r||_{\infty}$ оцениваем с помощью Хэйджера и алгоритма, описанного выше.

3 Практическая реализация

Программа написана на языке программирования Python3 с использованием библиотек *numpy*, *math* для работы с матрицами и *argparse* для работы с аргументами командной строки. Далее предполагается, что все матрицы осуществляют операции только с вещественными числами.

Листинг 1. Метод отражения

```
1  def householder_without_q(A):
2      def sign(x):
3          return -1 if x < 0 else 1
4
5      m, n = np.shape(A)
6      W = np.zeros((m,n))
7      R = A.copy()
8
9      for k in range(m-1):
10         x = R[k:m,k]
11         e = np.zeros(len(x))
12         e[0] = 1
13         alpha = sign(x[0]) * np.linalg.norm(x,2)
14         u = x - alpha * e
15         v = u / np.linalg.norm(u,2)
16         R[k:m, k:n] = R[k:m, k:n] - 2 * np.outer(v,np.dot(v.transpose(),R[k:m, k:n]))
17         W[k:m,k]=v
18     return W, R
```

Листинг 2. Восстановление матрицы Q через вектора отражения.

```
1  def form_q(W):
2      m, n = np.shape(W)
3      Q = np.identity(m)
4      for i in range(m):
5          for k in range(n-1, -1, -1):
6              Q[k:m,i] = Q[k:m,i] - 2*np.dot(np.outer(W[k:m,k],W[k:m,k]),Q[k:m,i])
7     return Q
```

Листинг 3. Итерационное уточнение.

```
1  def iterative_refinement(A, B, x1, eps, iterations=100):
2      iterate = 0
3      while True:
4          delta_x = delta_error(A, B, x1, True)
5          if np.linalg.norm(delta_x) < eps or iterate > iterations:
6              break
7          else:
8              x1 = np.array([x1]).transpose() + delta_x
9              x1 = x1.transpose().tolist()[0]
10             iterate += 1
11
12     return x1
13
14
15 def delta_error(A, B, x1, double_precision=False):
16     m = A.shape[0]
17     b1 = np.zeros(m)
18     for i in range(m):
19         b1[i] = np.dot(A[i, :], x1)
20
21     chosen_type = np.longfloat if double_precision else A.dtype
22     r = b1.astype(chosen_type) - B.astype(chosen_type)
23     r = np.negative(r)
24
25     delta_x = gauss(A, np.array([r]).transpose())
26
27     return delta_x
```

Листинг 4. «Оценщик» матричной нормы.

```
1  def condition_hager(n, a):
2      import numpy as np
3      i1 = -1
4      c1 = 0.0
5      b = np.zeros(n)
6      for i in range(0, n):
7          b[i] = 1.0 / float(n)
8      while (True):
9          b2 = np.linalg.solve(a, b)
10         for i in range(0, n):
11             b[i] = b2[i]
12         c2 = 0.0
13         for i in range(0, n):
14             c2 = c2 + abs(b[i])
15         for i in range(0, n):
16             b[i] = r8_sign(b[i])
17         b2 = np.linalg.solve(np.transpose(a), b)
18         for i in range(0, n):
19             b[i] = b2[i]
20         i2 = r8vec_max_abs_index(n, b)
```

```

21         if (0 <= i1):
22             if (i1 == i2 or c2 <= c1):
23                 break
24             i1 = i2
25             c1 = c2
26         for i in range(0, n):
27             b[i] = 0.0
28             b[i1] = 1.0
29         value = c2 * r8mat_norm_l1(n, n, a)
30         return value
31
32 def r8vec_max_abs_index( n, a ):
33     if ( n <= 0 ):
34         max_abs_index = -1
35     else:
36         max_abs_index = 0
37         for i in range ( 1, n ):
38             if ( abs ( a[max_abs_index] ) < abs ( a[i] ) ):
39                 max_abs_index = i
40         return max_abs_index
41
42 def r8mat_norm_l1 ( m, n, a ):
43     value = 0.0
44     for j in range ( 0, n ):
45         row_sum = 0.0
46         for i in range ( 0, m ):
47             row_sum = row_sum + abs ( a[i,j] )
48         value = max ( value, row_sum )
49     return value
50
51 def r8_sign(x):
52     if (x < 0.0):
53         value = -1.0
54     else:
55         value = +1.0
56     return value
57
58 def check_error(A, X1, B):
59     m = A.shape[0]
60     b1 = np.zeros(m)
61     for i in range(m):
62         b1[i] = np.dot(A[i,], X1)
63     r = b1 - B
64     R = np.eye(m)
65     for i in range(m):
66         R[i,i] = r[i]
67     return norm(R.dot(condition_hager(m,np.linalg.inv(A)))) / norm(X1)

```

4 Тестирование

4.1 Матрица 3x3

В качестве первого теста были взяты следующие матрицы A и b :

$$A = \begin{pmatrix} 2 & 2 & 4 \\ 1 & 3 & -2 \\ 3 & 1 & -3 \end{pmatrix}, \quad b = \begin{pmatrix} 18 \\ 1 \\ 14 \end{pmatrix}.$$

Методом отражения были найдены матрицы разложения:

$$Q = \begin{pmatrix} -0.53452248 & -0.21821789 & -0.81649658 \\ -0.26726124 & -0.87287156 & 0.40824829 \\ -0.80178373 & 0.43643578 & 0.40824829 \end{pmatrix},$$
$$R = \begin{pmatrix} -3.74165739 & -2.67261242 & -4.00891863 \\ 0. & -2.61861468 & 2.1821789 \\ 0. & 0. & -2.85773803 \end{pmatrix},$$

Соответственно был найден неизвестный вектор x :

$$x = \begin{pmatrix} 1.00000000000000027 \\ 1.99999999999999987 \\ 2.9999999999999999 \end{pmatrix}$$

В результате итерационных уточнений:

```
1 Iteration [0]:[1.00000000000000027, 1.99999999999999987, 2.9999999999999999]
```

Практическая оценка ошибка для матрицы A выдало:

$$\left(6.978544726215272e - 16 \right)$$

Оценим 1-норму матрицы A^{-1} . Для матрицы A^{-1} по Хэйджеру — $\|A^{-1}\|_1 = 6.0$, а вычисленная норма равна — $\|A^{-1}\|_1 = 1.0$

4.2 Матрица 6x6

Возьмем гильбертову матрицу плохой обусловленности $A_{i,j} = \frac{1}{i+j-1}$

$$A = \begin{pmatrix} 1. & 0.5 & 0.33333333 & 0.25 & 0.2 & 0.16666667 \\ 0.5 & 0.33333333 & 0.25 & 0.2 & 0.16666667 & 0.14285714 \\ 0.33333333 & 0.25 & 0.2 & 0.16666667 & 0.14285714 & 0.125 \\ 0.25 & 0.2 & 0.16666667 & 0.14285714 & 0.125 & 0.11111111 \\ 0.2 & 0.16666667 & 0.14285714 & 0.125 & 0.11111111 & 0.1 \\ 0.16666667 & 0.14285714 & 0.125 & 0.11111111 & 0.1 & 0.09090909 \end{pmatrix}, \quad b = \begin{pmatrix} 0.352846 \\ 0.148777 \\ 0.38714 \\ 0.998776 \\ 0.27418 \\ 0.634250 \end{pmatrix}$$

Методом отражения были найдены матрицы разложения:

$$Q = \begin{pmatrix} -0.81885037 & 0.53968051 & -0.18926054 & -0.04823609 & 0.00902961 & -0.00110499 \\ -0.40942518 & -0.3319879 & 0.70241698 & 0.44892647 & -0.1616526 & 0.03314958 \\ -0.27295012 & -0.42193465 & 0.15293341 & -0.57232256 & 0.58539031 & -0.23204703 \\ -0.20471259 & -0.40672521 & -0.20151311 & -0.38664006 & -0.46868501 & 0.61879209 \\ -0.16377007 & -0.37352642 & -0.39626059 & 0.09151695 & -0.42854071 & -0.6961411 \\ -0.13647506 & -0.3399305 & -0.49977217 & 0.55742201 & 0.47727592 & 0.27845644 \end{pmatrix},$$

$$R = \begin{pmatrix} -1.22122434e+00 & -7.01871744e-01 & -5.04470316e-01 & -3.96969127e-01 & -3.28433734e-01 \\ 0.00000000e+00 & -1.38466990e-01 & -1.51130170e-01 & -1.44364356e-01 & -1.34008232e-01 \\ 0.00000000e+00 & 0.00000000e+00 & -9.56161345e-03 & -1.51932381e-02 & -1.81302905e-02 \\ 0.00000000e+00 & 0.00000000e+00 & 0.00000000e+00 & 4.80281542e-04 & 9.94238186e-04 \\ 0.00000000e+00 & 0.00000000e+00 & 0.00000000e+00 & 0.00000000e+00 & 1.73389814e-04 \\ 0.00000000e+00 & 0.00000000e+00 & 0.00000000e+00 & 0.00000000e+00 & 0.00000000e-05 \end{pmatrix}$$

Соответственно был найден неизвестный вектор x :

$$x = \begin{pmatrix} -6016.3111399813393425 \\ 171527.09423790074548 \\ -1157523.7592948742912 \\ 3003185.0089350438998 \\ -3307413.1111909475205 \\ 1300684.439822783459 \end{pmatrix}$$

Практическая оценка ошибки для матрицы A выдала:

$$\left(3.802252320730109663e-11 \right)$$

В результате итерационных уточнений:

```

1 Iteration [0]:[-6016.311139982503, 171527.09423790494, -1157523.759294872, 3003185.00893504,
  ↪ -3307413.111190962, 1300684.4398227963]
2 Iteration [1]:[-6016.3111399825413708, 171527.09423790497988, -1157523.7592948721438,
  ↪ 3003185.0089350396556, -3307413.111190961424, 1300684.439822796439]
3 Iteration [2]:[-6016.3111399824333345, 171527.09423790487698, -1157523.7592948722319,
  ↪ 3003185.0089350396954, -3307413.111190961184, 1300684.4398227962126]
```

4 Iteration [3]:[-6016.3111399823541094, 171527.09423790475341, -1157523.7592948723334,
↪ 3003185.008935039726, -3307413.111190960951, 1300684.439822795985]

5 Iteration [4]:[-6016.3111399822908654, 171527.0942379046227, -1157523.7592948724372,
↪ 3003185.0089350397566, -3307413.1111909607175, 1300684.4398227958798]

6 Iteration [5]:[-6016.311139982236992, 171527.09423790449105, -1157523.7592948725381,
↪ 3003185.0089350397907, -3307413.1111909604804, 1300684.439822795818]

7 Iteration [6]:[-6016.3111399821892027, 171527.09423790436162, -1157523.7592948726343,
↪ 3003185.00893503983, -3307413.111190960238, 1300684.4398227957621]

8 Iteration [7]:[-6016.311139982145696, 171527.09423790423558, -1157523.7592948727247,
↪ 3003185.0089350398748, -3307413.1111909599908, 1300684.4398227956956]

9 Iteration [8]:[-6016.3111399821054563, 171527.09423790411356, -1157523.7592948728094,
↪ 3003185.0089350399253, -3307413.1111909597387, 1300684.4398227956116]

10 Iteration [9]:[-6016.3111399820678313, 171527.09423790399539, -1157523.7592948728889,
↪ 3003185.0089350399815, -3307413.1111909594817, 1300684.4398227955069]

11 Iteration [10]:[-6016.3111399820326866, 171527.09423790388111, -1157523.7592948729628,
↪ 3003185.0089350400424, -3307413.1111909592207, 1300684.4398227953818]

12 Iteration [11]:[-6016.3111399819995664, 171527.09423790377038, -1157523.7592948730319,
↪ 3003185.008935040108, -3307413.1111909589554, 1300684.4398227952365]

13 Iteration [12]:[-6016.3111399819682608, 171527.0942379036632, -1157523.7592948730967,
↪ 3003185.008935040178, -3307413.1111909586868, 1300684.4398227950732]

14 Iteration [13]:[-6016.311139981938634, 171527.09423790355909, -1157523.7592948731574,
↪ 3003185.0089350402516, -3307413.1111909584151, 1300684.4398227948926]

15 Iteration [14]:[-6016.311139981910556, 171527.09423790345791, -1157523.7592948732142,
↪ 3003185.0089350403284, -3307413.1111909581405, 1300684.4398227946963]

16 Iteration [15]:[-6016.3111399818838954, 171527.09423790335943, -1157523.7592948732677,
↪ 3003185.0089350404085, -3307413.111190957863, 1300684.4398227944855]

17 Iteration [16]:[-6016.311139981858488, 171527.09423790326339, -1157523.7592948733179,
↪ 3003185.0089350404912, -3307413.1111909575834, 1300684.439822794262]

18 Iteration [17]:[-6016.311139981834333, 171527.09423790316981, -1157523.7592948733652,
↪ 3003185.0089350405763, -3307413.1111909573017, 1300684.4398227940267]

19 Iteration [18]:[-6016.311139981811223, 171527.09423790307858, -1157523.7592948734102,
↪ 3003185.0089350406638, -3307413.1111909570182, 1300684.4398227937805]

20 Iteration [19]:[-6016.311139981789123, 171527.09423790298936, -1157523.7592948734527,
↪ 3003185.0089350407532, -3307413.1111909567333, 1300684.439822793525]

21 Iteration [20]:[-6016.3111399817679983, 171527.0942379029021, -1157523.759294873493,
↪ 3003185.008935040844, -3307413.1111909564472, 1300684.4398227932603]

22 Iteration [21]:[-6016.3111399817477456, 171527.09423790281674, -1157523.7592948735314,
↪ 3003185.0089350409364, -3307413.1111909561598, 1300684.4398227929883]

23 Iteration [22]:[-6016.311139981728243, 171527.094237902733, -1157523.759294873568,
↪ 3003185.0089350410303, -3307413.1111909558715, 1300684.4398227927092]

24 Iteration [23]:[-6016.311139981709477, 171527.09423790265086, -1157523.759294873603,
↪ 3003185.0089350411256, -3307413.1111909555825, 1300684.4398227924233]

25 Iteration [24]:[-6016.31113998169135, 171527.09423790256994, -1157523.7592948736362,
↪ 3003185.0089350412215, -3307413.1111909552928, 1300684.4398227921317]

26 Iteration [25]:[-6016.3111399816738714, 171527.09423790249069, -1157523.7592948736684,
↪ 3003185.0089350413186, -3307413.1111909550027, 1300684.4398227918356]

27 Iteration [26]:[-6016.3111399816569196, 171527.09423790241249, -1157523.7592948736991,
↪ 3003185.0089350414166, -3307413.1111909547121, 1300684.4398227915343]

28 Iteration [27]:[-6016.3111399816404914, 171527.0942379023356, -1157523.759294873729,
↪ 3003185.0089350415153, -3307413.1111909544213, 1300684.4398227912291]

29 Iteration [28]:[-6016.3111399816246267, 171527.09423790226016, -1157523.7592948737581,
↪ 3003185.0089350416144, -3307413.1111909541303, 1300684.4398227909203]

```

30 Iteration [29]:[-6016.3111399816091676, 171527.0942379021856, -1157523.7592948737858,
   ↪ 3003185.0089350417138, -3307413.1111909538392, 1300684.4398227906088]
31 Iteration [30]:[-6016.311139981594179, 171527.0942379021122, -1157523.759294873813,
   ↪ 3003185.0089350418136, -3307413.111190953548, 1300684.439822790294]
32 Iteration [31]:[-6016.3111399815795104, 171527.09423790203964, -1157523.7592948738394,
   ↪ 3003185.008935041914, -3307413.111190953257, 1300684.4398227899768]
33 Iteration [32]:[-6016.3111399815653217, 171527.09423790196819, -1157523.759294873865,
   ↪ 3003185.0089350420142, -3307413.111190952966, 1300684.4398227896575]
34 Iteration [33]:[-6016.3111399815513596, 171527.09423790189747, -1157523.75929487389,
   ↪ 3003185.0089350421147, -3307413.111190952675, 1300684.4398227893362]
35 Iteration [34]:[-6016.311139981537726, 171527.09423790182773, -1157523.7592948739147,
   ↪ 3003185.0089350422154, -3307413.1111909523847, 1300684.4398227890134]
36 Iteration [35]:[-6016.311139981524466, 171527.09423790175883, -1157523.7592948739389,
   ↪ 3003185.0089350423161, -3307413.1111909520944, 1300684.4398227886892]
37 Iteration [36]:[-6016.311139981511351, 171527.0942379016907, -1157523.7592948739626,
   ↪ 3003185.0089350424166, -3307413.1111909518045, 1300684.4398227883644]
38 Iteration [37]:[-6016.3111399814985534, 171527.09423790162339, -1157523.759294873986,
   ↪ 3003185.0089350425171, -3307413.1111909515153, 1300684.4398227880383]
39 Iteration [38]:[-6016.3111399814860363, 171527.09423790155665, -1157523.759294874009,
   ↪ 3003185.0089350426176, -3307413.1111909512263, 1300684.4398227877117]
40 Iteration [39]:[-6016.3111399814737883, 171527.09423790149083, -1157523.7592948740319,
   ↪ 3003185.0089350427181, -3307413.1111909509377, 1300684.4398227873846]
41 Iteration [40]:[-6016.311139981461661, 171527.09423790142542, -1157523.7592948740543,
   ↪ 3003185.0089350428182, -3307413.1111909506494, 1300684.4398227870565]
42 Iteration [41]:[-6016.311139981449742, 171527.09423790136077, -1157523.7592948740765,
   ↪ 3003185.008935042918, -3307413.111190950362, 1300684.4398227867288]
43 Iteration [42]:[-6016.311139981438091, 171527.09423790129682, -1157523.7592948740984,
   ↪ 3003185.0089350430176, -3307413.111190950075, 1300684.4398227864009]
44 Iteration [43]:[-6016.311139981426458, 171527.09423790123317, -1157523.7592948741201,
   ↪ 3003185.0089350431172, -3307413.1111909497888, 1300684.4398227860726]
45 Iteration [44]:[-6016.311139981415052, 171527.09423790117026, -1157523.7592948741417,
   ↪ 3003185.0089350432163, -3307413.1111909495032, 1300684.4398227857447]
46 Iteration [45]:[-6016.311139981403823, 171527.09423790110802, -1157523.7592948741633,
   ↪ 3003185.008935043315, -3307413.1111909492179, 1300684.4398227854168]
47 Iteration [46]:[-6016.31113998139275, 171527.09423790104633, -1157523.7592948741849,
   ↪ 3003185.0089350434134, -3307413.1111909489334, 1300684.4398227850895]
48 Iteration [47]:[-6016.3111399813818663, 171527.09423790098525, -1157523.7592948742064,
   ↪ 3003185.0089350435117, -3307413.1111909486497, 1300684.4398227847624]
49 Iteration [48]:[-6016.3111399813710296, 171527.09423790092448, -1157523.7592948742275,
   ↪ 3003185.0089350436092, -3307413.1111909483666, 1300684.439822784436]
50 Iteration [49]:[-6016.3111399813603475, 171527.09423790086433, -1157523.7592948742488,
   ↪ 3003185.0089350437065, -3307413.111190948084, 1300684.43982278411]
51 Iteration [50]:[-6016.31113998134974, 171527.09423790080454, -1157523.7592948742699,
   ↪ 3003185.0089350438034, -3307413.111190947802, 1300684.4398227837842]
52 Iteration [51]:[-6016.3111399813393425, 171527.09423790074548, -1157523.7592948742912,
   ↪ 3003185.0089350438998, -3307413.1111909475205, 1300684.439822783459]

```

Оценим норму матрицы A^{-1} . Для матрицы A^{-1} по Хэйджеру — $\|A^{-1}\|_1 = 29070279.00683587$, а вычисленная норма равна — $\|A^{-1}\|_1 = 11865420.001538314$

При увеличении размера матрицы Гильберта ошибка в решении будет только расти (это несложно проверить, задавая $n = 7, 8, \dots$). Причем, при $n = 12$ выведется сообщение о том, что матрица

плохообусловлена и решение может оказаться неверным.

Так как становится проблематичным проверять матрицы большой размерности, то далее для проверки результатов будет использоваться библиотека *numpy*. В данном случае вычисления показали правильные результаты.

Далее будут сгенерированы несколько матриц разного размера.

4.3 Матрица 100x100

Оценим норму матрицы (случайная сгенерированная для 100x100) A^{-1} . Для матрицы A^{-1} по Хэйджеру — $\|A^{-1}\|_1 = 648.5457778131733$, а вычисленная норма равна — $\|A^{-1}\|_1 = 245.3424489834818$.

Практическая оценка ошибки для матрицы A выдала:

$$\left(2.652568163522353e - 09 \right)$$

4.4 Матрица 250x250

Оценим норму матрицы (случайная сгенерированная для 250x250) A^{-1} . Для матрицы A^{-1} по Хэйджеру — $\|A^{-1}\|_1 = 532.8694720046803$, а вычисленная норма равна — $\|A^{-1}\|_1 = 194.8191031341605$.

Практическая оценка ошибки для матрицы A выдала:

$$\left(5.735121479435413e - 05 \right)$$

4.5 Матрица 500x500

Оценим норму матрицы (случайная сгенерированная для 500x500) A^{-1} . Для матрицы A^{-1} по Хэйджеру — $\|A^{-1}\|_1 = 3025.6886832382224$, а вычисленная норма равна — $\|A^{-1}\|_1 = 1077.46022138407$.

Практическая оценка ошибки для матрицы A выдала:

$$\left(1.804813588396503e - 02 \right)$$

5 Вывод

В ходе выполнения лабораторной работы был изучен метод отражений, и было найдено решение системы $Ax = b$ с помощью данного разложения, для этого реализована программа на языке Python3. Использование преобразований Хаусхолдера является наиболее простым из численно устойчивых алгоритмов QR-разложения благодаря использованию отражений в качестве механизма для получения нулей в матрице R. Однако алгоритм отражения Хаусхолдера имеет большую пропускную способность и не распараллеливается, так как каждое отражение, создающее новый нулевой элемент, изменяет всю совокупность матриц Q и R.

Список литературы

- [1] Gander, W. in: Nicolet et al. Informatik fur Ingenieure, Springer Verlag, 1979.
- [2] Деммель Дж. Вычислительная линейная алгебра. Теория и приложения. — М.: Мир, 2001.
- [3] Голуб Дж., Ван Лоун Ч. Матричные вычисления. — М.: Мир, 1999.